



KKU Res.j. 2014; 19(4) : 550-559

http://resjournal.kku.ac.th

วิธีการจัดรูปแบบบิตข้อมูลแบบหลายแทร็กสำหรับระบบบีทีเอ็มอาร์

A Multi-track Recorded-Bit Patterning Scheme for Bit-Patterned Media Recording System

อรรถสิทธิ์ อารยางกูร¹, ชานนท์ วรिसาร^{1*}, ปิยะ โควินท์ทวีวัฒน์²
Autthasith Arrayangkool¹, Chanon Warisarn^{1}, and Piya Kovintavewat²*

¹วิทยาลัยนวัตกรรมการจัดการข้อมูล สถาบันเทคโนโลยีพระจอมเกล้าเจ้าคุณทหารลาดกระบัง

²ศูนย์วิจัยเทคโนโลยีการบันทึกข้อมูล มหาวิทยาลัยราชภัฏนครปฐม

*Correspondent author: kwchanon@kmitl.ac.th

บทคัดย่อ

การแทรกสอดระหว่างสัญลักษณ์ (inter-symbol interference: ISI) และการแทรกสอดระหว่างแทร็ก (inter-track interference: ITI) เป็นปัญหาสำคัญในระบบการบันทึกข้อมูลของสื่อบันทึกที่มีการจัดรูปแบบบิตหรือที่เรียกว่าระบบบีทีเอ็มอาร์ (bit-patterned media recording: BPMP) เพราะระยะห่างระหว่างบิตและระยะห่างระหว่างแทร็กมีน้อยมากสำหรับระบบบีทีเอ็มอาร์ที่ความจุข้อมูลสูง วิธีหนึ่งที่สามารถช่วยลดผลกระทบที่เกิดจาก ISI และ ITI คือการเข้ารหัสก่อนการบันทึกข้อมูลลงในสื่อบันทึก โดยทั่วไปวิธีการเข้ารหัสสองมิติได้ถูกนำมาใช้เพื่อการเข้ารหัสข้อมูล อย่างไรก็ตามวิธีดังกล่าวต้องการบิตส่วนเกินจำนวนมากจึงส่งผลให้มีอัตราหัสต่ำ ดังนั้นบทความนี้จึงได้นำเสนอวิธีการเข้ารหัสสองมิติแบบใหม่เรียกว่า “วิธีการจัดรูปแบบบิตข้อมูลแบบหลายแทร็ก (Multi-track Recorded-Bit Patterning: M-RBP)” ซึ่งมีอัตราหัสที่สูง โดยจะทำการเลื่อนลำดับข้อมูลในแต่ละแทร็กเพื่อหารูปแบบของข้อมูลที่ดีที่สุดจากตารางค้นหา (look-up table) ที่ถูกสร้างไว้แล้วก่อนหน้า จากนั้นจึงบันทึกข้อมูลที่จัดรูปแบบเรียบร้อยแล้วลงไปยังสื่อบันทึกข้อมูล ซึ่งวิธีการนี้ช่วยลดผลกระทบที่เกิดจาก ISI และ ITI ได้เป็นอย่างดี จากผลการทดลองพบว่า วิธีการที่ได้นำเสนอสามารถช่วยเพิ่มสมรรถนะในด้านอัตราส่วนของสัญญาณต่อสัญญาณรบกวน (Signal-to-Noise Ratio, SNR) ของระบบ เมื่อเปรียบเทียบกับระบบที่ไม่มีการเข้ารหัสข้อมูลได้ถึง 1 เดซิเบล ที่ระดับอัตราบิตผิดพลาดเท่ากับ 10^{-4}

Abstract

The inter-symbol interference (ISI) and inter-track interference (ITI) become a major impairment in bit-patterned media recording (BPMP) because of small bits and track pitches. One way to alleviate ISI and ITI is to encode a data sequence before recording. In general, a two-dimensional (2D) coding scheme is used for this purpose; however, it requires lots of redundant bits, thus lowering a code rate. This paper proposes a novel 2D coding scheme, referred to as a multi-track recorded-bit patterning (M-RBP) scheme, with a high code rate to combat both ISI and ITI effects. Specifically, the data bits will first be patterned by finding the best pattern based on a look-up table before recording that can avoid severe ISI and ITI effects. Simulation results indicate that the proposed scheme can provide a significant signal to noise ratio (SNR) performance improvement when compared to the system without any coding and yield for about 1 dB gain at BER = 10^{-4} .

คำสำคัญ: บีทีเอ็มอาร์; สัญญาณรบกวนแบบเลื่อนตำแหน่ง; การจัดรูปแบบบิตข้อมูล; อีควอลไลเซชันแบบสองมิติ

Keywords: BPMP; position jitter noise; recording-bit patterning (RBP); two-dimensional equalization

1. บทนำ

ในปัจจุบันนี้พื้นที่การจัดเก็บข้อมูลดิจิทัลมีความต้องการเพิ่มขึ้นอย่างรวดเร็ว จึงส่งผลให้มีการพัฒนาเพิ่มความจุข้อมูลของฮาร์ดดิสก์ไครฟ์ให้เพียงพอที่จะรองรับความต้องการในการจัดเก็บข้อมูลที่มากขึ้นในอนาคต ระบบบีทีเอ็มอาร์ คือเทคโนโลยีการบันทึกข้อมูลเชิงแม่เหล็กประเภทหนึ่งที่มีความเป็นไปได้ที่จะนำมาใช้ในฮาร์ดดิสก์ไครฟ์ยุคต่อไป ซึ่งคาดว่าจะสามารถเพิ่มความหนาแน่นของการบันทึกข้อมูล (recording density) ได้สูงถึง 4 เทระบิตต่อตารางนิ้ว (Tb/in^2) (1) อย่างไรก็ตามเมื่อความหนาแน่นของการบันทึกข้อมูลสูงขึ้นย่อมส่งผลให้ระยะห่างระหว่างเกาะข้อมูล (bit island) ทั้งในทิศทางขวาง แตร็กและในแนวตามแตร็กมีค่าน้อยลง ซึ่งมีผลทำให้ระบบเผชิญกับการแทรกสอดสองมิติที่ประกอบด้วยการแทรกสอดระหว่างสัญญาณ (ISI) และการแทรกสอดระหว่างแตร็ก (ITI) ที่รุนแรงเพิ่มมากขึ้น (2-5) โดยผลกระทบที่เกิดจากการแทรกสอดทั้งสองนี้จะมีผลให้ระบบบีทีเอ็มอาร์ มีสมรรถนะลดลงอย่างมาก

โดยทั่วไปผลกระทบจากการแทรกสอดสองมิติแบ่งเป็น 2 แบบคือ แบบส่งเสริม (constructive) และแบบลดทอน (destructive) โดยพิจารณาจากรูปคลื่นของสัญญาณอ่านกลับ (readback signal waveform) เทียบกับบิตข้อมูลที่ถูกบันทึก บทความนี้ได้ให้ความสนใจเฉพาะสัญญาณอ่านกลับที่ปราศจากโอเวอร์ชูต (overshoot) เนื่องจากเป็นสัญญาณที่เกิดขึ้นจริงจากสื่อบันทึกข้อมูล (media) ที่ใช้งานอยู่ในปัจจุบัน ตามที่แสดงในรูปที่ 1 (6) โดยจะสังเกตเห็นว่าในกรณีที่บิตข้อมูลถูกบันทึกลงในสื่อบันทึกเพียงบิตเดียวโดยไม่มีบิตข้อมูลอื่นล้อมรอบ สัญญาณอ่านกลับจะมีค่าแอมพลิจูดประมาณ 0.7 ซึ่งจะเรียกกรณีนี้ว่า “บิตข้อมูลเดี่ยว” ตามรูปที่ 1(a) ซึ่งบิตข้อมูลเดี่ยวนี้นี้จะถูกนำมาใช้เป็นตัวแบ่งแยะระหว่างกรณีการแทรกสอดแบบส่งเสริมและกรณีแทรกสอดแบบลดทอน ในกรณีที่เกิดการแทรกสอดสองมิติแบบส่งเสริมนั้น สัญญาณอ่านกลับของบิตกลางจะมีค่าแอมพลิจูดเพิ่มสูงขึ้น (มากกว่าในกรณีที่ เป็นบิตข้อมูลเดี่ยว) เช่น ถ้าบิตข้อมูล ‘1’ ถูกล้อมรอบด้วยบิตข้อมูล ‘1’ ทั้งหมด จะถือว่าเป็นกรณีที่ดีที่สุดตามรูปที่ 1(b) ในขณะที่ถ้าบิตข้อมูล ‘1’ ถูกล้อมรอบด้วยบิต ‘-1’ จะถือ

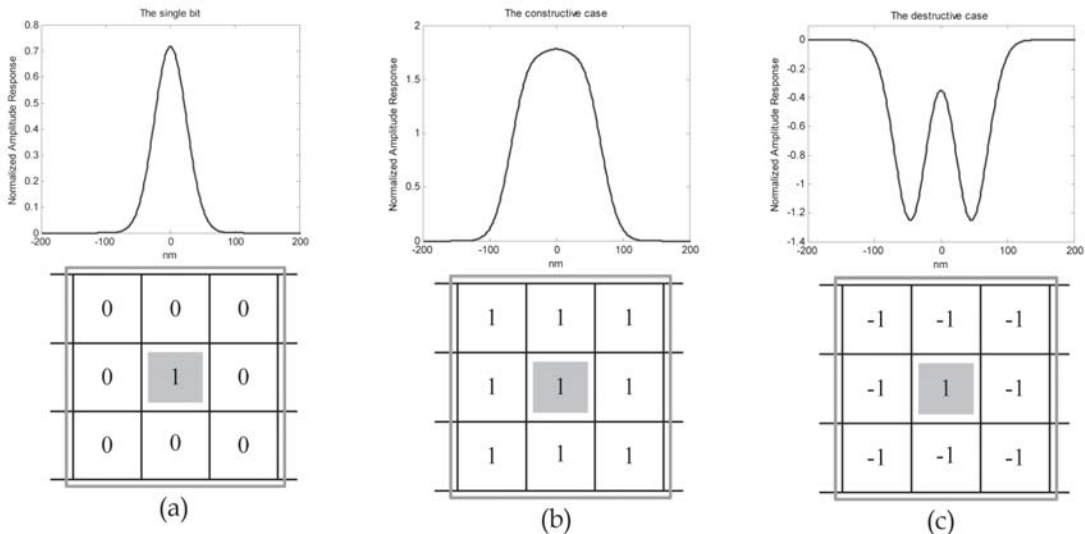
ว่าเป็นกรณีที่ด้อยสุดตามรูปที่ 1(c) เพราะจะพบว่าสัญญาณอ่านกลับของบิตกลางจะมีค่าแอมพลิจูดลดต่ำลงมาก ซึ่งจะเรียกเหตุการณ์นี้ว่าระบบเผชิญกับการแทรกสอดสองมิติแบบลดทอน ซึ่งเป็นสิ่งที่ควรหลีกเลี่ยงในการบันทึกข้อมูลเพื่อหลีกเลี่ยงการแทรกสอดสองมิติแบบลดทอน งานวิจัยก่อนหน้านี้ได้มีการนำเสนอรหัส ITI แบบส่งเสริม (constructive ITI code) (2) ที่พิจารณาการบันทึกข้อมูลแบบ 2 แตร็กในระบบการบันทึกข้อมูลเชิงแม่เหล็กแบบแนวตั้ง (perpendicular magnetic recording) จากนั้นวิธีการเข้ารหัสสองมิติ (3) ที่มีอัตรารหัส 7/9 ได้ถูกนำเสนอเพื่อหลีกเลี่ยงบางกรณีที่ก่อให้เกิดการแทรกสอดแบบลดทอน โดยการแทรกบิตส่วนเกินลงไปในแต่ละแตร็กในตารางขนาด 3×3 แต่เนื่องจากบิตส่วนเกินที่ใช้ในวิธีการเข้ารหัสนี้ไม่มีความสามารถในการแก้ไขข้อผิดพลาด ดังนั้น Shao *et al.* (4) ได้นำเสนอวิธีการเข้ารหัสสองมิติแบบใหม่สำหรับระบบบีทีเอ็มอาร์ที่มีโอเวอร์ชูตที่อัตรารหัส 5/6 ซึ่งนอกจากจะให้สมรรถนะดีกว่ารหัสสองมิติที่ได้นำเสนอก่อนหน้านี้แล้วยังมีจำนวนบิตส่วนเกินน้อยกว่าและบิตส่วนเกินยังสามารถช่วยแก้ไขข้อผิดพลาดได้ด้วย สำหรับงานวิจัยที่พิจารณาระบบบีทีเอ็มอาร์ที่ปราศจากโอเวอร์ชูตก็ได้มีการนำเสนอวิธีการเข้ารหัสสองมิติเช่นกัน ยกตัวอย่างเช่นวิธีการจัดรูปแบบบิตข้อมูลก่อนการบันทึก (recorded-bit patterning: RBP) แบบง่าย (5) ที่มีอัตรารหัสสูง เพื่อหลีกเลี่ยงการแทรกสอดสองมิติแบบลดทอน ซึ่งถูกนำเสนอให้ใช้งานร่วมกับแบบจำลองช่องสัญญาณแบบ 3 แตร็กที่มีแถบป้องกัน (guard band) คั่นระหว่างแตร็ก ซึ่งการแทรกแถบป้องกันลงไปในสื่อบันทึกนั้นจะเป็นการสูญเสียพื้นที่บางส่วนในการบันทึกข้อมูล ดังนั้นบทความนี้จะนำเสนอวิธีการจัดรูปแบบบิตข้อมูลแบบหลายแตร็ก (M-RBP) ที่ใช้ในแบบจำลองช่องสัญญาณหลายแตร็กที่ไม่มีแถบป้องกัน คั่นระหว่างแตร็กทำให้ได้พื้นที่ในการบันทึกข้อมูลเพิ่มมากขึ้น โดยเริ่มต้นจากการนำลำดับข้อมูลที่ต้องการบันทึกมาเลื่อนวน (circular shift) เพื่อหารูปแบบของบิตข้อมูลที่ดีที่สุดที่ไม่ก่อให้เกิดการแทรกสอดสองมิติแบบลดทอนจากตารางค้นหา (look-up table) ก่อนจะทำกรบันทึกข้อมูลที่มีรูปแบบข้อมูลที่ดีสุดลงในสื่อบันทึก จากผลการทดลองพบว่าวิธีการที่ได้นำเสนอสามารถช่วยเพิ่มสมรรถนะในด้านอัตราส่วนของสัญญาณต่อสัญญาณ

รบกวน (Signal-to-Noise Ratio, SNR) ของระบบได้เป็นอย่างดีเมื่อเปรียบเทียบกับระบบที่ไม่มีการเข้ารหัสข้อมูล และระบบ RBP (5) ได้ถึง 1 เดซิเบล และ 0.5 เดซิเบลตามลำดับที่ระดับอัตราบิดผิดพลาดเท่ากับ 10^{-4}

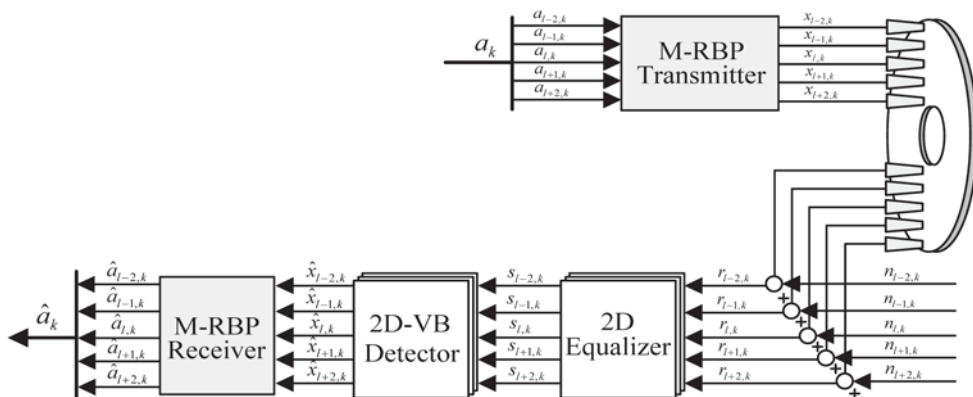
บทความนี้จะอธิบายแบบจำลองช่องสัญญาณของระบบ บีพีเอ็มอาร์ แบบหลายแทร็กในหัวข้อที่ 2 จากนั้นหัวข้อที่ 3 อธิบายการทำงานของวิธีการจัดรูปแบบบิตข้อมูลแบบหลายแทร็ก หัวข้อที่ 4 นำเสนอผลลัพธ์จากการจำลองระบบ และหัวข้อที่ 5 สรุปบทความนี้

2. ช่องสัญญาณระบบการบันทึกข้อมูลเชิงแม่เหล็กแบบบีพีเอ็มอาร์

แบบจำลองช่องสัญญาณของระบบบีพีเอ็มอาร์ที่ใช้ในบทความนี้แสดงในรูปที่ 2 โดยลำดับข้อมูลแบบไบนารี $a_k \in \{\pm 1\}$ ที่ต้องการบันทึกจะถูกแบ่งออกเป็น 5 แทร็กก่อนที่ข้อมูลทั้ง 5 แทร็กจะถูกส่งต่อไปยังวงจร M-RBP เพื่อเข้ารหัสข้อมูลก่อนการบันทึกลงในสื่อบันทึก



รูปที่ 1 สัญญาณอ่านกลับของ (a) บิตข้อมูลเดี่ยว (b) กรณีที่ดีที่สุด เมื่อบิตข้อมูล '1' ถูกล้อมรอบด้วยบิตข้อมูล '1' และ (c) กรณีที่ด้อยที่สุด เมื่อบิตข้อมูล '1' ถูกล้อมรอบด้วยบิตข้อมูล '-1'



รูปที่ 2 แบบจำลองช่องสัญญาณของระบบ บีพีเอ็มอาร์ ที่ใช้อัลกอริทึม M-RBP

สัญญาณอ่านกลับของบิตข้อมูลที k^h บนแทร็กที่ l^h เขียนเป็นสมการคณิตศาสตร์ได้ดังนี้ (6)

$$r_{l,k} = \sum_n \sum_m h_{m,n} x_{l-m,k-n} + n_{l,k} = x_{l,k} \otimes h_{l,k} + n_{l,k} \quad 1$$

เมื่อ $x_{l,k}$ คือบิตข้อมูลที่จะบันทึกลงบนสื่อบันทึกข้อมูล, $h_{m,n}$ คือค่าสัมประสิทธิ์ของผลตอบสนองของสัญญาณสองมิติ, n และ m แทนตำแหน่งของเกาะข้อมูลในทิศทางตามแนวแทร็กและแนวขวางแทร็กตามลำดับ, \otimes คือเครื่องหมายการดำเนินการคอนโวลูชันแบบสองมิติ (2D convolution), และ $n_{l,k}$ คือสัญญาณรบกวนเกาส์สีขาวแบบบวก (additive white Gaussian noise) ในทางปฏิบัติค่าสัมประสิทธิ์ของผลตอบสนองของช่องสัญญาณสองมิติ $h_{m,n}$ ในระบบ บีพีเอ็มอาร์ หาได้จากการซัดตัวอย่าง (sampling) ผลตอบสนองสัญญาณพัลส์ของเกาะข้อมูลเดี่ยวที่มีคาบเวลาบิต (bit period) T_x และความกว้างของแทร็ก (track pitch) T_z คือ

$$h_{m,n} = P(-mT_x, -nT_z), \quad \{m,n\} \in (-L,0,L) \quad 2$$

โดย $P(x, z)$ คือผลตอบสนองสัญญาณพัลส์เกาส์เขียนแบบสองมิติ (6) และ $2L+1$ คือจำนวนสัมประสิทธิ์ของช่องสัญญาณแบบสองมิติ โดยผลตอบสนองสัญญาณพัลส์เกาส์เขียนแบบสองมิติสำหรับระบบบีพีเอ็มอาร์ในงานวิจัยนี้หาได้จาก (6, 8)

$$P(x, z) = A \exp \left\{ -\frac{1}{2} \left[\left(\frac{x + \Delta_x}{cPW_x} \right)^2 + \left(\frac{z + \Delta_z}{cPW_z} \right)^2 \right] \right\} \quad 3$$

เมื่อ $A = 1$ คือแอมพลิจูดสูงสุดของผลตอบสนองสัญญาณพัลส์เกาส์เขียนแบบสองมิติ, Δ_x คือความคลาดเคลื่อนของตำแหน่งตามแนวแทร็ก, Δ_z คือความคลาดเคลื่อนของตำแหน่งตามแนวขวางแทร็ก, PW_x คือค่า PW_x ของสัญญาณพัลส์ตามแนวแทร็ก, PW_z คือค่า PW_z ของสัญญาณพัลส์ตามแนวขวางแทร็ก, PW_x คือความกว้างของสัญญาณพัลส์ ณ จุดครึ่งหนึ่งของแอมพลิจูดสูงสุด, และ $c = 1/2.3548$ คือค่าคงตัวที่เป็นความสัมพันธ์ระหว่าง PW_x และค่าเบี่ยงเบนมาตรฐานของสัญญาณเกาส์เขียน ในที่นี้สัญญาณรบกวนแบบเลื่อนตำแหน่ง (position jitter noise) ตามแนวแทร็ก Δ_x และตามแนวขวางแทร็ก Δ_z จะถูกจำลองโดยฟังก์ชันการแจกแจงความน่าจะเป็นแบบเกาส์เขียนที่มี

ค่าเฉลี่ยศูนย์และค่าความแปรปรวน σ_j^2 เมื่อ σ_j เป็นร้อยละของความยาวบิต T_x

จากรูปที่ 2 พบว่าลำดับข้อมูล a_k จะถูกแบ่งออกเป็น 5 แทร็ก $\{a_{l-2,k}, a_{l-1,k}, a_{l,k}, a_{l+1,k}, a_{l+2,k}\}$ เพื่อส่งเข้าไปในวงจรเข้ารหัส M-RBP เพื่อจัดเรียงบิตข้อมูลให้พร้อมสำหรับการบันทึกลงในสื่อบันทึกเป็น 5 ลำดับข้อมูล $\{x_{l-2,k}, x_{l-1,k}, x_{l,k}, x_{l+1,k}, x_{l+2,k}\}$ จำนวน 5 แทร็กติดกันคือแทร็กที่ $(l-2)$, $(l-1)$, (l) , $(l+1)$, และ $(l+2)$ ตามลำดับ ในกระบวนการอ่านข้อมูล ณ วงจรภาครับ ข้อมูลทั้ง 5 แทร็กจะถูกอ่านโดยใช้ 5 หัวอ่านในเวลาเดียวกัน (หรือใช้ 1 หัวอ่านเพื่ออ่านข้อมูลที่ละแทร็ก แล้วใช้บัฟเฟอร์หรือหน่วยความจำช่วยในการเก็บข้อมูลที่ละแทร็ก) จากนั้นในกระบวนการอ่าน (read process) ลำดับข้อมูลของสัญญาณอ่านกลับ $r_{l,k}$ จะถูกส่งไปยังวงจรถอดรหัสแบบสองมิติ (2D equalizer) เพื่อปรับสัญญาณให้เป็นลำดับข้อมูล $s_{l,k}$ และส่งต่อไปยังวงจรตรวจหาวิเทอร์บีแบบสองมิติ (2D Viterbi detector) (6) เพื่อหาลำดับข้อมูลที่เป็นไปได้มากที่สุด ก่อนจะส่งข้อมูลที่ตรวจหาได้ไปยังวงจรถอดรหัส M-RBP เพื่อจัดเรียงลำดับข้อมูลใหม่โดยอาศัยข้อมูลการเลื่อนลำดับข้อมูลย้อนกลับที่เก็บเอาไว้ในหน่วยความจำหรือบัฟเฟอร์

3. วิธีการจัดรูปแบบบิตข้อมูลแบบหลายแทร็ก

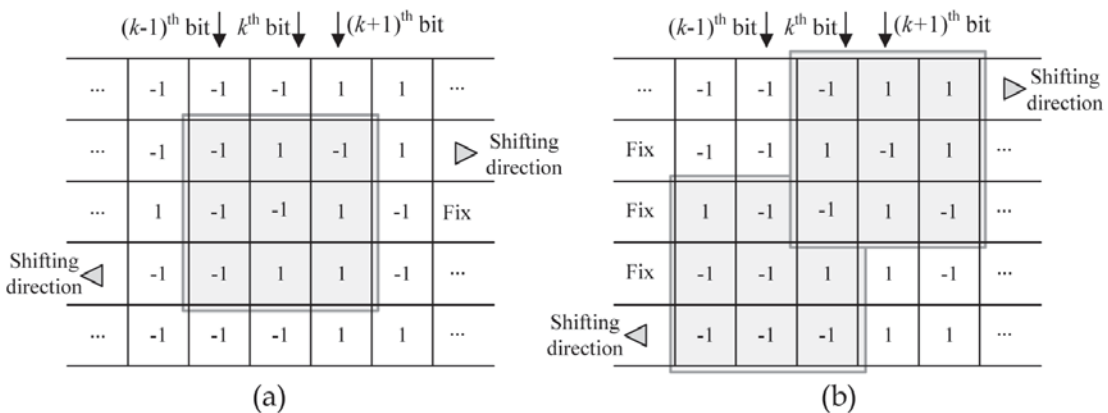
เนื่องจากความรุนแรงของการแทรกสอดสองมิติขึ้นอยู่กับทั้งรูปแบบสัญญาณอ่านกลับของบิตข้อมูลที่ตรวจหาและบิตข้อมูลที่อยู่รอบข้าง บทความนี้นำเสนออัลกอริทึม M-RBP เพื่อหลีกเลี่ยงรูปแบบข้อมูลบางรูปแบบที่ก่อให้เกิดข้อผิดพลาดได้ง่าย ณ วงจรตรวจหา โดยการจัดเรียงบิตข้อมูลใหม่ (เพื่อไม่ให้มีรูปแบบที่ก่อให้เกิดข้อผิดพลาดง่าย) ก่อนการบันทึกลงในสื่อบันทึก

พิจารณาหน้าต่างอาร์เรย์ขนาด 3×3 ที่ครอบคลุมบิตข้อมูลทั้งหมด 9 บิต คือ 3 บิตจากแทร็กบน $[a_{l-1,k-1} \ a_{l-1,k} \ a_{l-1,k+1}]$, 3 บิตจากแทร็กกลาง $[a_{l,k-1} \ a_{l,k} \ a_{l,k+1}]$, และ 3 บิตจากแทร็กล่าง $[a_{l+1,k-1} \ a_{l+1,k} \ a_{l+1,k+1}]$ ตามที่แสดงในรูปที่ 3 โดยหน้าต่างนี้จะใช้เพื่อค้นหารูปแบบข้อมูล $[a_{l-1,k-1} \ a_{l-1,k} \ a_{l-1,k+1} \ a_{l,k-1} \ a_{l,k} \ a_{l,k+1} \ a_{l+1,k-1} \ a_{l+1,k} \ a_{l+1,k+1}]$ ที่ก่อให้เกิดข้อผิดพลาดได้

ง่ายในกระบวนการอ่าน ณ วงจรตรวจหาในการทำงานเริ่มต้นจะกำหนดให้รูปคลื่นของสัญญาณอ่านกลับของบิตข้อมูลเดี่ยวที่ปราศจากโอเวอร์ซุ่มตามรูปที่ 1(a) เป็นสัญญาณอ้างอิง (reference signal) ซึ่งได้มาจากแบบจำลองช่องสัญญาณที่ไม่มีสัญญาณรบกวนใดๆ จากนั้นจะพิจารณารูปแบบข้อมูลทั้งหมดที่อยู่ภายในหน้าต่างอาร์เรย์ขนาด 3x3 ด้วยการตรวจสอบว่าค่าแอมพลิจูดของสัญญาณอ่านกลับของบิตกลาง $\{r_{i,k}\}$ แตกต่างจากค่าแอมพลิจูดของสัญญาณอ้างอิงหรือไม่อย่างไร ถ้ารูปแบบข้อมูลใดที่มีผลทำให้ค่าแอมพลิจูดของสัญญาณอ่านกลับของบิตกลาง $\{r_{i,k}\}$ มีเครื่องหมายตรงข้ามกับเครื่องหมายของค่าแอมพลิจูดของสัญญาณอ้างอิง จะถือว่าเป็นรูปแบบข้อมูลแบบลดทอน (destructive data pattern) ในขณะที่เดียวกัน ถ้ารูปแบบข้อมูลอื่นๆ นอกเหนือจากนี้จะเป็นรูปแบบข้อมูลแบบส่งเสริม (constructive data pattern) ซึ่งในตารางที่ 1 ได้แสดงรูปแบบข้อมูลแบบลดทอนทั้งหมดที่ก่อให้เกิดข้อผิดพลาด ณ บิตกลาง เมื่อเทียบกับสัญญาณอ่านกลับที่ปราศจากสัญญาณรบกวนใดๆ โดยรายละเอียดการทำงานของวงจรเข้ารหัส M-RBP ที่นำเสนอในบทความนี้สามารถอธิบายได้ตามรูปที่ 3 ดังนี้

ขั้นตอนที่ 1 ให้พิจารณาข้อมูล 3 แทร็กแล้วทำการเลื่อนหน้าต่างขนาด 3x3 ที่มีศูนย์กลางอยู่ที่แทร็กที่ l (แทร็กกลาง) จากตำแหน่งเริ่มต้น (ด้านซ้ายสุดของแทร็ก) ไปยังตำแหน่งสุดท้าย (ด้านขวาสุดของแทร็ก) แล้วนับ

จำนวนรูปแบบข้อมูลแบบลดทอนทั้งหมดที่เกิดขึ้น โดยการเปรียบเทียบกับรูปแบบข้อมูลในตารางที่ 1 จากนั้นกำหนดให้แทร็กที่ l คงที่ แล้วเลื่อนวนในแทร็กที่ $l-1$ และแทร็กที่ $l+1$ เพื่อสร้างรูปแบบข้อมูลที่เป็นไปได้ทั้งหมด ซึ่งในแต่ละครั้งของการเลื่อนวนในแทร็กที่ $l-1$ หรือแทร็กที่ $l+1$ ก็จะทำการตรวจสอบการเลื่อนหน้าต่างขนาด 3x3 จากตำแหน่งเริ่มต้นไปยังตำแหน่งสุดท้ายของแทร็กอีกครั้ง เพื่อนับจำนวนรูปแบบข้อมูลแบบลดทอนทั้งหมดที่เกิดขึ้น โดยเมื่อทำการเลื่อนวนข้อมูลทั้งหมดแล้ว จะตรวจสอบว่าการเลื่อนวนของแทร็กที่ $l-1$ และแทร็กที่ $l+1$ ครั้งใดที่มีผลทำให้ได้รูปแบบข้อมูลที่ดีที่สุด (นั่นคือมีจำนวนรูปแบบข้อมูลแบบลดทอนน้อยสุด) จากนั้นก็จะบันทึกจำนวนครั้งที่ใช้ในการเลื่อนวนของข้อมูลชุดนั้น ไว้ในหน่วยความจำหรือบัฟเฟอร์ เพื่อนำไปใช้ในการเลื่อนวนข้อมูลกลับมายังตำแหน่งเดิม ณ วงจรถอดรหัส M-RBP ที่ภาครับ จากนั้นตอนที่ 1 ซึ่งเป็นวิธีการของการจัดรูปแบบของ RBP จะเห็นว่ามีการจัดรูปแบบเฉพาะแทร็กกลาง แทร็กบน และแทร็กล่างที่อยู่ติดกันเท่านั้น ซึ่งยังมีแทร็กอื่นๆ ที่นอกเหนือจากทั้งสามแทร็กที่ต้องการการจัดรูปแบบข้อมูลก่อนการบันทึกลงไป ในสื่อบันทึก ดังนั้นขั้นตอนที่ 2 ซึ่งเป็นขั้นตอนที่เพิ่มเติมจากวิธี RBP เพื่อหลีกเลี่ยงการใช้แถบป้องกันส่งผลให้พื้นที่การบันทึกข้อมูลเพิ่มมากขึ้นและยังช่วยให้สมรรถนะของระบบเพิ่มมากขึ้นอีกด้วย โดยสามารถอธิบายในรายละเอียดได้ดังนี้



รูปที่ 3 วิธีการ M-RBP ที่นำเสนอ (a) ขั้นตอนที่ 1 และ (b) ขั้นตอนที่ 2

ตารางที่ 1 รูปแบบข้อมูลที่ทำให้เกิดการแทรกสอดสองมิติแบบลดทอน

Destructive Pattern Number	Upper Track		Center Track			Lower Track			
	$(k-1)^{th}$	k^{th}	$(k+1)^{th}$	$(k-1)^{th}$	k^{th}	$(k+1)^{th}$	$(k-1)^{th}$	k^{th}	$(k+1)^{th}$
1	1	1	1	1	-1	1	1	1	1
2	-1	1	1	1	-1	1	1	1	1
3	1	1	-1	1	-1	1	1	1	1
4	-1	1	-1	1	-1	1	1	1	1
5	1	1	1	-1	-1	1	1	1	1
6	1	1	1	1	-1	-1	1	1	1
7	1	1	1	1	-1	1	-1	1	1
8	-1	1	1	1	-1	1	-1	1	1
9	1	1	-1	1	-1	1	-1	1	1
10	-1	1	-1	1	-1	1	-1	1	1
11	-1	-1	1	-1	1	-1	1	-1	1
12	1	-1	-1	-1	1	-1	1	-1	1
13	-1	-1	-1	-1	1	-1	1	-1	1
14	1	-1	1	-1	1	-1	-1	-1	1
15	-1	-1	1	-1	1	-1	-1	-1	1
16	1	-1	-1	-1	1	-1	-1	-1	1
17	-1	-1	-1	-1	1	-1	-1	-1	1
18	1	1	1	1	-1	1	1	1	-1
19	-1	1	1	1	-1	1	1	1	-1
20	1	1	-1	1	-1	1	1	1	-1
21	-1	1	-1	1	-1	1	1	1	-1
22	1	1	1	1	-1	1	-1	1	-1
23	-1	1	1	1	-1	1	-1	1	-1
24	1	1	-1	1	-1	1	-1	1	-1
25	1	-1	1	-1	1	-1	1	-1	-1
26	-1	-1	1	-1	1	-1	1	-1	-1
27	1	-1	-1	-1	1	-1	1	-1	-1
28	-1	-1	-1	-1	1	-1	1	-1	-1
29	-1	-1	-1	-1	1	1	-1	-1	-1
30	-1	-1	-1	1	1	-1	-1	-1	-1
31	1	-1	1	-1	1	-1	-1	-1	-1
32	-1	-1	1	-1	1	-1	-1	-1	-1
33	1	-1	-1	-1	1	-1	-1	-1	-1
34	-1	-1	-1	-1	1	-1	-1	-1	-1

ขั้นตอนที่ 2 ขั้นตอนนี้จะใช้หน้าต่างขนาด 3×3 จำนวน 2 ชุดที่เป็นอิสระต่อกัน โดยมีตำแหน่งศูนย์กลางของหน้าต่างอยู่ที่แทร็ก $l-1$ และ $l+1$ ตามลำดับ ตามรูปที่ 3(b) จากนั้นกำหนดให้ข้อมูลในแทร็กที่ $l-1$, l และ $l+1$ คงที่ แล้วทำการเลื่อนหน้าต่างที่ $l-2$ และ $l+2$ เพื่อหาจำนวนครั้งในการเลื่อนที่ทำให้ได้รูปแบบข้อมูลที่ดีที่สุด (เช่นเดียวกับขั้นตอนที่ 1) ของชุดข้อมูลในแทร็ก $\{l-2, l-1$ และ $l\}$ และแทร็ก $\{l, l+1$ และ $l+2\}$ ตามลำดับ เมื่อทำขั้นตอนที่ 2 เสร็จแล้ว ก็จะได้รูปแบบข้อมูลที่ดีที่สุดทั้ง 5 แทร็ก ที่พร้อมจะถูกบันทึกลงในสื่อบันทึก และจำนวนครั้งที่ใช้ในการเลื่อนที่ดีที่สุดของแทร็ก $l-2$ และ $l+2$ ก็จะถูกบันทึกลงในหน่วยความจำเช่นเดียวกัน ในกรณีที่ข้อมูลมีมากกว่า 5 แทร็กก็ยังคงสามารถใช้วิธีการนี้ได้เช่นกัน คำเนิการในลักษณะเดียวกันกับขั้นตอนที่ 2 ซ้ำจนกว่าจะครบทุกแทร็ก โดยไม่จำเป็นต้องมีแถบป้องกันคั่นระหว่างแทร็ก ซึ่งถือว่าเป็น

ข้อดีอีกประการหนึ่งของวิธีการที่เราได้นำเสนอเพื่อช่วยเพิ่มพื้นที่ในการจัดเก็บข้อมูลให้มากขึ้นด้วย

ในทางปฏิบัติอัลกอริทึม M-BPR ที่นำเสนอจะใช้เวลาในการประมวลผลค่อนข้างมาก โดยเฉพาะอย่างยิ่งเมื่อแทร็กข้อมูลมีความยาวมาก อย่างไรก็ตามถ้าต้องการลดเวลาในการประมวลผลเพื่อให้การประมวลผลรวดเร็วขึ้นก็สามารถทำได้ด้วยการแบ่งแทร็กข้อมูลออกเป็นส่วนย่อยๆ ในงานวิจัยนี้ได้แบ่งลำดับข้อมูล $\{a_k\}$ ทั้งหมด 6720 บิต ออกเป็น 5 แทร็ก แต่ละแทร็กมีความยาว $L_t = 1344$ บิต จากนั้นจึงแบ่งข้อมูลขนาด 5×1344 (6720 บิต) ออกเป็น 21 ส่วน โดยแต่ละส่วนมีขนาด 5×64 บิต เพื่อลดเวลาในการประมวลผล ด้วยวิธีการแบ่งส่วนย่อยนี้ทำให้สามารถกำหนดหาขนาดของหน่วยความจำที่ต้องใช้ในการเก็บค่าจำนวนครั้งที่ใช้ในการเลื่อนวนได้เท่ากับ $n_p 4 \log_2(n_b)$ บิต โดย $n_b = L_t/n_p$ คือขนาดของส่วนย่อยที่ถูกแบ่ง (บิต), n_p คือ

จำนวนส่วนย่อยที่ถูกแบ่ง, และ n_t คือจำนวนแตรีก (ในงานวิจัยนี้ใช้ $n = 5$ แตรีก) ดังนั้นหน่วยความจำที่ใช้ทั้งหมดจึงมีค่าเท่ากับ $6 \times 4 \times 21 = 504$ บิตต่อข้อมูล 6720 บิต

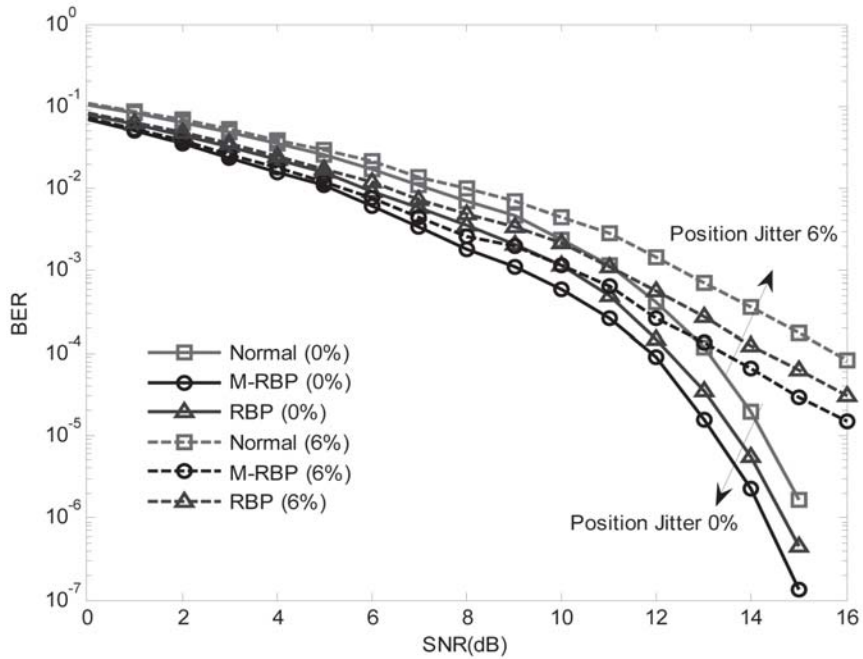
4. ผลการจำลองระบบและการอภิปรายผล

ในการทดสอบอัลกอริทึม M-RBP ที่นำเสนอในระบบ บีพีเอ็มอาร์ ที่ความหนาแน่นของการบันทึกข้อมูล 2.5 Tb/in^2 ซึ่งมีความกว้างของบิตและความกว้างของแตรีกเท่ากับ 16 นาโนเมตร (nm), PW_{50} ในแนวตามแตรีกกว้างเท่ากับ 19.4 nm และ PW_{50} ในแนวขวางแตรีกกว้างเท่ากับ 24.8 nm เช่นเดียวกับ (8) โดยอัตราส่วนของสัญญาณต่อสัญญาณรบกวนนิยามโดย $SNR = 20 \log_{10} (1/\sigma)$ มีหน่วยเป็นเดซิเบล (decibel: dB) เมื่อ σ คือค่าเบี่ยงเบนมาตรฐานของสัญญาณรบกวนเกาส์เซียนสีขาว นอกจากนี้ระบบ บีพีเอ็มอาร์ จะใช้ทาร์เก็ต (target) แบบสองมิติขนาด 3×3 และอิกวอลไลเซอร์สองมิติขนาด 3×7 ซึ่งถูกออกแบบโดยวิธีการหาค่าผิดพลาดกำลังสองเฉลี่ยน้อยสุด (minimum mean-squared error) (6, 9) ที่ทำให้ระบบเกิดอัตราบิตผิดพลาด (bit-error rate: BER) เท่ากับ 10^{-4} โดยในการหาค่าอัตราข้อผิดพลาดบิตของแต่ละค่า SNR จะต้องเกิดบิตผิดพลาดอย่างน้อย 500 บิต และกำหนดให้ข้อมูล 1 เซกเตอร์ (sector) มี 6720 บิต

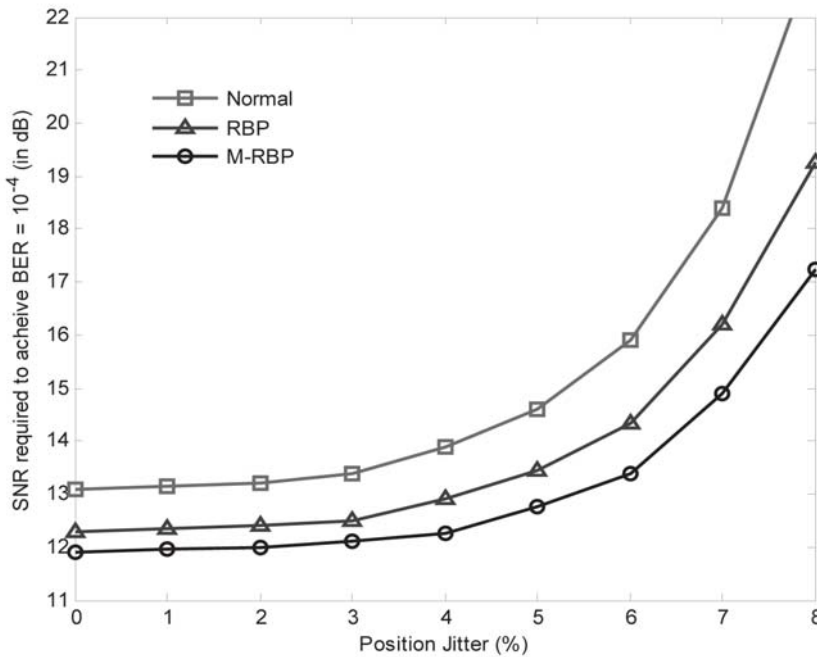
รูปที่ 4 แสดงอัตราบิตผิดพลาดของระบบ บีพีเอ็มอาร์ ที่มีสัญญาณรบกวนแบบเลื่อนตำแหน่งเป็น $s_j = 0\%$ และ $s_j = 6\%$ ในที่นี้ "Normal", "M-RBP" และ "RBP" ใช้แทนกรณีปรกติในการบันทึกข้อมูล, กรณีที่ใช้อัลกอริทึม M-RBP ในการลดจำนวนของรูปแบบข้อมูลแบบลดทอนให้น้อยที่สุด, และกรณีที่ใช้อัลกอริทึม RBP ที่นำเสนอใน (5) ตามลำดับ โดยเครื่องหมาย "%" หมายถึง ร้อยละของความผิดพลาดของการเลื่อนตำแหน่งข้อมูล จากรูปจะพบว่ากรณีที่ระบบไม่มีความผิดพลาดของตำแหน่ง ($s_j = 0\%$) ณ ค่า BER = 10^{-4} ระบบที่ใช้อัลกอริทึม M-RBP จะมีสมรรถนะดีกว่าระบบที่ใช้วิธีการบันทึกแบบปรกติและระบบที่ใช้อัลกอริทึม RBP ประมาณ 0.6 เดซิเบล และ 0.3 เดซิเบล ตามลำดับ นอกจากนี้เมื่อระบบมีความผิดพลาดของตำแหน่งเพิ่มมากขึ้น เช่น $s_j = 6\%$ ก็จะพบว่าระบบที่นำเสนอมีสมรรถนะดีมากยิ่งขึ้น (มากกว่าระบบที่ใช้วิธีการ

บันทึกแบบปรกติและระบบที่ใช้อัลกอริทึม RBP ประมาณ 1 เดซิเบล และ 0.5 เดซิเบล ตามลำดับ) แสดงว่าวิธีการที่นำเสนอสามารถลดผลกระทบที่เกิดจากการแทรกสอดสองมิติได้เป็นอย่างดี นอกจากนี้ยังได้เปรียบเทียบสมรรถนะของระบบในรูปของค่า SNR ที่ระบบใช้ที่ทำให้เกิด BER = 10^{-4} ณ ระดับความผิดพลาดของการเลื่อนตำแหน่งข้อมูลต่างๆ ดังแสดงในรูปที่ 5 ซึ่งจะเห็นได้ว่าระบบที่ใช้อัลกอริทึม M-RBP มีสมรรถนะดีกว่าระบบอื่นๆ โดยเฉพาะอย่างยิ่งเมื่อความผิดพลาดของการเลื่อนตำแหน่งข้อมูลมีความรุนแรงเพิ่มมากขึ้น ทั้งนี้เนื่องจากวิธีการแบบ M-RBP สามารถลดรูปแบบข้อมูลแบบหักล้างได้ในทุกแตรีกข้อมูลที่ต้องการบันทึกลงไปยังสื่อบันทึกข้อมูลซึ่งแตกต่างจากวิธี RBP ที่สามารถลดรูปแบบข้อมูลแบบหักล้างได้เฉพาะแตรีกกลางเท่านั้น ทำให้รูปแบบของข้อมูลที่ไม่ว่างเหมาะต่อการบันทึกยังคงหลงเหลืออยู่ เมื่อถูกบันทึกลงไปจึงทำให้ระบบการตรวจจับข้อมูลเกิดข้อผิดพลาดได้โดยง่าย ส่งผลให้สมรรถนะของระบบลดลง

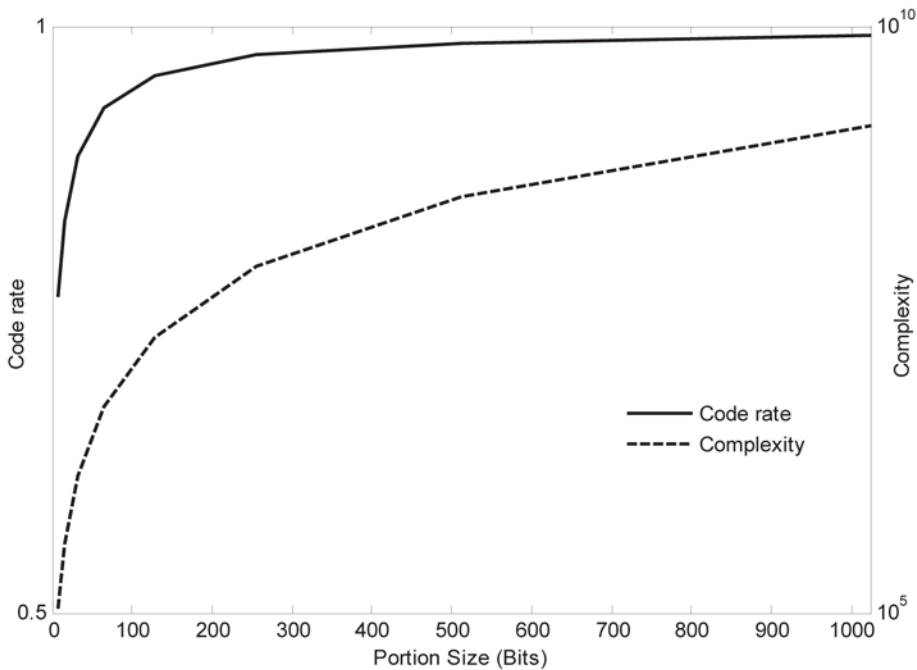
ในส่วนต่อไปนี้จะแสดงสมรรถนะของอัลกอริทึม M-RBP ที่นำเสนอในรูปของความซับซ้อน (complexity) และอัตรารหัส (code rate) ที่ใช้ เมื่อส่วนย่อยของข้อมูลมีขนาดกว้าง 8, 16, 32, 64, 128, 256, 512 และ 1024 บิต โดยในที่นี้ความซับซ้อน C ของอัลกอริทึม M-RBP จะพิจารณาจากปริมาณหน่วยความจำที่ต้องใช้ในการเก็บค่าจำนวนครั้งที่ใช้ในการเลื่อนวนแต่ละแตรีก โดยในขั้นตอนที่ 1 จะได้ความซับซ้อน $C_1 = n_b \times n_b \times n_b \times n_p = n_b \times n_b \times L_t$ บิต (นับจากการเลื่อนแตรีกบน การเลื่อนแตรีกล่าง และการเลื่อนหน้าต่างเพื่อนับจำนวนรูปแบบข้อมูลแบบลดทอนในทุกช่วงข้อมูลที่ถูกรบกวน) และในขั้นตอนที่ 2 จะได้ความซับซ้อน $C_2 = 2 \times n_b \times n_b \times n_p = 2 \times n_b \times L_t$ หน่วย (เกิดจากการเลื่อนหน้าต่างสองชุดและเลื่อนข้อมูลใน 2 แตรีกที่อิสระต่อกันของทุกช่วงข้อมูลที่ถูกรบกวน) ดังนั้นอัลกอริทึม M-RBP จะมีความซับซ้อนรวมทั้ง 2 ขั้นตอนเท่ากับ $C = C_1 + C_2 = (2 + n_b) \times n_b \times L_t$ หน่วย นอกจากนี้อัตรารหัสคำนวณหาได้จาก $R = (n_t \times n_b) / (n_t \times n_b + 4 \log_2(n_b))$ ตารางที่ 2 และรูปที่ 6 แสดงความซับซ้อนและอัตรารหัสของอัลกอริทึม M-RBP เมื่อเทียบกับขนาดของส่วนย่อยข้อมูลที่ถูกรบกวน ซึ่งจะเห็นได้ว่าเมื่อขนาดของส่วนย่อยข้อมูลมีค่าเพิ่มขึ้น ความซับซ้อนและอัตรารหัสก็จะเพิ่มขึ้น



รูปที่ 4 อัตราข้อผิดพลาดบิตของระบบที่มีสัญญาณรบกวนแบบเลื่อนตำแหน่งที่ 0 และ 6%



รูปที่ 5 สมรรถนะของระบบต่างๆ ในรูปของค่า SNR ที่ระบบต้องการเพื่อทำให้ได้ BER = 10⁻⁴ ณ ระดับความรุนแรงของความผิดพลาดของการเลื่อนตำแหน่งข้อมูล



รูปที่ 6 ความซับซ้อนและอัตราหัส เมื่อหนึ่งแตรีกข้อมูลมีความกว้างเท่ากับ 1344 บิต

ตารางที่ 2 ความซับซ้อนและอัตราหัสเทียบกับขนาดของส่วนย่อยข้อมูลที่ถูกแบ่ง เมื่อหนึ่งแตรีกข้อมูลมีความกว้างเท่ากับ 1344 บิต

Portion sizes	Complexity	Complexity, C		Code rate, R	
		$L_t = 1344$	$L_t = 1344$	$L_t = 1344$	$L_t = 1344$
8	80 L_t	107520		0.7692	
16	288 L_t	387072		0.8333	
32	1088 L_t	1462272		0.8888	
64	4224 L_t	5677056		0.9302	
128	16640 L_t	22364160		0.9580	
256	66048 L_t	88768512		0.9756	
512	263168 L_t	353697792		0.9861	
1024	1050624 L_t	1412038656		0.9922	

5. สรุป

บทความนี้ได้เสนอวิธีการจัดเรียงรูปแบบข้อมูลแบบหลายแตรีกหรือ M-RBP เพื่อทำการจัดเรียงข้อมูลก่อนการบันทึกลงในสื่อบันทึกในระบบบีพีเอ็มอาร์ ซึ่งการจัดเรียงข้อมูลก่อนการบันทึกจะช่วยลดผลกระทบที่เกิดจากการแทรกสอดสองมิติที่เกิดขึ้นในระบบการบันทึกข้อมูลเชิงแม่เหล็กได้แนวคิดสำหรับวิธี M-RBP ก็คือการหลีกเลี่ยง

รูปแบบข้อมูลที่ส่งผลทำให้เกิดการลดทอนของสัญญาณอ่านกลับซึ่งอาจทำให้เกิดข้อผิดพลาดได้ง่ายที่วงจรตรวจหา โดยทำการเปลี่ยนรูปแบบข้อมูลให้เหมาะสมก่อนที่จะทำการบันทึกข้อมูลลงในสื่อบันทึกข้อมูล ผลการทดลองแสดงให้เห็นว่าวิธีที่เราได้นำเสนอสามารถช่วยเพิ่มสมรรถนะของระบบได้เป็นอย่างมาก โดยเฉพาะอย่างยิ่งเมื่อระบบต้องเผชิญกับความผิดพลาดของการเลื่อนตำแหน่งข้อมูลที่รุนแรง อย่างไรก็ตามถึงแม้ว่าวิธีที่นำเสนอจะมีสมรรถนะ

ดีและใช้หน่วยความจำเพิ่มเติมน้อยแต่ก็ต้องแลกมาด้วยเวลาที่ใช้ในการประมวลผลที่เพิ่มมากขึ้นด้วย ดังนั้นงานวิจัยต่อไปในอนาคตสิ่งที่จะต้องพัฒนาก็คือการลดเวลาในการประมวลผลและหน่วยความจำให้น้อยลงต่อไป

6. กิตติกรรมประกาศ

งานวิจัยนี้ได้รับเงินงบประมาณสนับสนุนภายใต้ทุนโครงการวิจัยเงินรายได้ รหัสทุน 2556-02-10003 จากวิทยาลัยนวัตกรรมการจัดการข้อมูล สถาบันเทคโนโลยีพระจอมเกล้าเจ้าคุณทหารลาดกระบัง

7. เอกสารอ้างอิง

- (1) W. Chang and J. R. Cruz, "Inter-Track Interference Mitigation for Bit-Patterned Magnetic Recording," *IEEE Trans. Magn.*, vol. 46, no. 11, pp. 3899–3908, Nov. 2010.
- (2) Y. Kurihara, Y. Takeda, Y. Takaishi, Y. Koizumi, H. Osawa, M.Z. Ahmed, and Y. Okamoto, "Constructive ITI-coded PRML system based on a two-track model for perpendicular magnetic recording," *Journal of Magnetism and Magnetic Materials* 320, pp. 3140-3143, Aug. 2008.
- (3) J. P. J. Groenland and L. Abelman, "Two dimensional Coding for Probe Recording on Magnetic Patterned Media," *IEEE Trans. Magn.*, vol. 43, no. 6, pp. 2307–2309, Jun. 2007.
- (4) X. Shao, L. Alink, J.P.J. Groenland, L. Abelman, and C. H. Slump, "A Simple Two-Dimensional Coding Scheme for Bit Patterned Media," *IEEE Trans. Magn.*, vol. 47, no. 10, pp. 2559-2562, Oct. 2011.
- (5) A. Arrayangkool, C. Warisarn, Lin M. M. Myint, and P. Kovintavewat, "A Simple Recorded-Bit Patterning Scheme for Bit Patterned Media Recording," in *Proc. of ECTI-CON 2013*, Krabi, May 15-17, 2013.
- (6) S. Nabavi, B. V. K. Vijaya Kumar, and J. A. Bain, Signal processing for bit-patterned media channel with inter-track interference, Ph.D. dissertation, Dept. Elect.Eng. Comp. Sci., Carnegie Mellon University, Pittsburgh, PA, 2008.
- (7) S. Koonkarnkhai, N. Chirdchoo, and P. Kovintavewat, "Iterative Decoding for High-Density Bit-Patterned Media Recording," *Procedia Engineering* 32, pp.323-328, Nov. 2012.
- (8) S. Nabavi *et al.*, "Application of Image Processing to Characterize Patterning Noise in Self-assembled Nano-masks for Bit-Patterned media," *IEEE Trans. Magn.*, vol. 45, no. 10, pp. 3523–3527, Oct. 2009.
- (9) J. Moon and W. Zeng, "Equalization for maximum like-lihood detector," *IEEE Trans. Magn.*, vol. 31, no. 2, pp. 1083–1088, Mar. 1995.